

ИССЛЕДОВАНИЕ СТРУКТУРЫ СПЕКТРА ГЕНЕРАЦИИ  
ТРЕТЬЕЙ ГАРМОНИКИ В  $SF_6$

С. С. Алимпиев, С. Н. Козлов, С. М. Никифоров,  
Б. Г. Сартаков, Э. М. Хохлов, А. Л. Штарков

УДК 621.373.826

Исследован спектр генерации третьей гармоники в  $SF_6$  с использованием плавно перестраиваемого по частоте импульсного  $CO_2$ -лазера при температурах 300 К и 140 К. Обнаружена выраженная резонансная структура спектра с характерной шириной пиков 0,2 – 0,3  $\text{см}^{-1}$ .

Исследование спектра генерации третьей гармоники в газах, в частности, в  $SF_6$ , посвящен целый ряд работ /1 – 4/, в которых показано, что величина нелинейной восприимчивости и, следовательно, спектр генерации третьей гармоники (ГТГ) связаны с частотным положением многофотонных резонансов и распределением населенностей в системе нижних колебательных уровней. Исследование структуры спектра ГТГ в  $SF_6$  при возбуждении молекул излучением  $CO_2$ -лазера является удобной методикой изучения структуры нижних колебательных уровней и определения констант ангармонизма. Вместе с тем, в этих работах в качестве источника накачки использовалось излучение  $CO_2$ -лазера, перестраиваемого по линиям генерации, что ограничивало спектральное разрешение методики величиной 2  $\text{см}^{-1}$  и не позволяло выявить структуру спектра ГТГ.

Эта работа посвящена исследованию спектра ГТГ в  $SF_6$  с использованием плавно перестраиваемого по частоте  $CO_2$ -лазера, что позволяет принципиально увеличить разрешение методики.

Эксперимент. Схема экспериментальной установки приведена на рис. I. Для исследования ГТГ использован плавно перестраи-

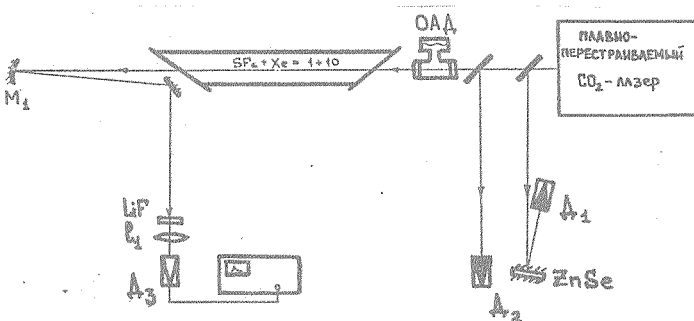


Рис. I. Схема экспериментальной установки

ваемый по частоте  $\text{CO}_2$ -лазера /5/. Выходной импульс излучения с энергией 0,3 Дж и длительностью по полувысоте 40 нс направлялся в кювету с  $\text{SF}_6$  длиной 1,5 м, охлаждаемую парами жидкого азота до температуры 140 К. Во всех экспериментах использовалась смесь  $\text{SF}_6$  с  $\text{Xe}$  в соотношении 1:10.

Перестройка частоты  $\text{CO}_2$ -лазера осуществлялась с шагом  $0,05 \text{ см}^{-1}$ . Абсолютная привязка частоты и измерение частотных интервалов проводились по линиям поглощения реферного газа  $\text{N}_2\text{O}$ , помещенного в кювету с опто-акустическим детектором (ОАД), и пикам интерферометра Фабри-Перо из  $\text{ZnSe}$  толщиной 5,8 мм. Точность измерения частоты составляла  $0,025 \text{ см}^{-1}$ . Энергия излучения измерялась полостным пироэлектрическим калориметром Д2 /6/. Плотность энергии на входе в кювету составляла  $0,29 \text{ Дж}/\text{см}^2$  ( $7 \text{ МВт}/\text{см}^2$ ).

Для регистрации сигнала ГТГ использовался фотоприемник на основе  $\text{GeAu}$  ( $T = 77 \text{ K}$ ). Излучение фокусировалось на приемник линзой  $L_1$  из  $\text{BaF}_2$  с  $f = 10 \text{ см}$ . Для подавления излучения на  $\lambda = 10,6 \text{ мкм}$  перед приемником помещался фильтр из  $\text{LiF}$  толщиной 5 мм.

Экспериментальные результаты. На рис. 2 приведен спектр ГТГ при температуре 300 К и давлении смеси 3 тор. Спектр ГТГ имеет ярко выраженную резонансную структуру, в отличие от спектра поглощения  $\text{SF}_6$ . Ширина пиков в спектре ГТГ составляет  $0,2 - 0,3 \text{ см}^{-1}$  по полувысоте. Наличие резонансной структуры спектра,

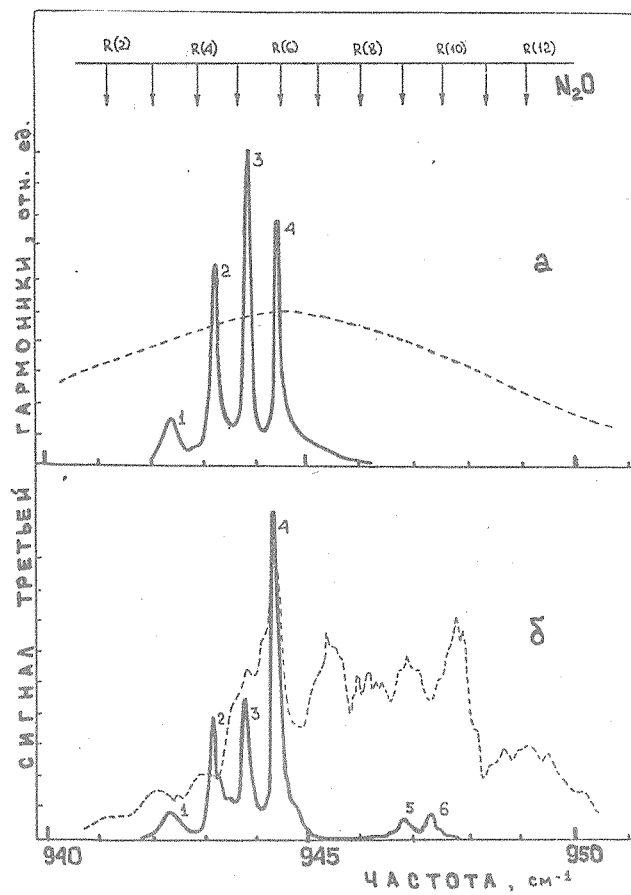


Рис. 2. Спектр ГТГ (сплошная линия) и спектр поглощения (штриховая линия) при  $T = 300$  К (рис. 2а) и  $T = 140$  К (рис. 2б),  
 $\Phi = 0,29 \text{ Дж}/\text{см}^2$ ,  $\tau_u = 40 \text{ нс}$ , смесь  $\text{SF}_6:\text{Xe} = 1:10$ ,  $P = 3$  тор  
при  $T = 300$  К

несмотря на значительный уровень возбуждения молекул в лазерном поле при комнатной температуре, подтверждает предположение о том, что ГТГ происходит лишь в системе низколежащих уровней.

На рис. 26 приведены спектры ГТГ при температуре 140 К. Плотность молекул в смеси  $SF_6 + Xe$  при охлаждении оставалась постоянной и соответствовала давлению 3 тор при комнатной температуре. Частоты пиков спектра ГТГ приведены в табл. I.

Таблица I.

№ пика	Частота, $\text{см}^{-1}$	№ пика	Частота, $\text{см}^{-1}$
1	$942,3 \pm 0,1$	4	$944,49 \pm 0,025$
2	$943,22 \pm 0,025$	5	$946,8 \pm 0,1$
3	$943,97 \pm 0,025$	6	$947,2 \pm 0,1$

Меньшая точность измерения частоты пиков 1,5 и 6 связана с малой амплитудой сигнала на этих пиках.

Для сравнения на том же рисунке приведен спектр поглощения  $SF_6$  при температуре 140 К, полученный ранее /7/. Совпадение пика 4 в спектре ГТГ с пиком поглощения подтверждает двухфотонный механизм возбуждения  $SF_6$  на этой частоте. Это подтверждается также и тем, что амплитуда пика 4 увеличивается при охлаждении газа, приводящем к увеличению заселенности основного состояния.

Пик 1, которому также соответствует пик в спектре поглощения, по-видимому, соответствует трехфотонному переходу  $0 \rightarrow 3\nu_3$ , что согласуется с измерениями ИК спектра поглощения полосы  $3\nu_3$   $SF_6$  /8/.

В спектре ГТГ имеется также ряд пиков (2,3,5,6), идентификация которых в настоящее время затруднена. Уменьшение амплитуды пиков 2 и 3 при охлаждении газа может объясняться соответствием пиков двухфотонным переходам с "горячих полос", например,  $\nu_6 - \nu_6 + 2\nu_3$ . (Так как при температуре 140 К на уровне  $\nu_6$  находится 3% частиц, то появление в спектре "горячих полос" вполне вероятно.) Наблюдаемые пики 2,3 могут быть обусловлены и многофотонными переходами с возбужденных в лазерном поле колебательных уровней.

Очевидно, что расшифровка спектра ГТГ существенным образом упрощается при переходе к газодинамическому охлаждению до  $T = 30$  К /9/, которое приводит к полному исключению "горячих по-

"лос" и значительному сужению ников из-за вымораживания вращательных степеней свободы.

Кроме того, дополнительная информация может быть получена при исследовании "синей" части спектра ГТГ ( $\nu < 946 \text{ см}^{-1}$ ), что требует увеличения чувствительности регистрации ГТГ приблизительно в 100 раз.

Авторы благодарны А. М. Прохорову и Н. В. Карлову за внимание и поддержку этой работы.

Поступила в редакцию  
5 апреля 1982 г.

### Л и т е р а т у р а

1. J. F. Ward, G. H. C. New, Phys. Rev., 185, 157 (1969).
2. H. Kildal, T. F. Deutsch, IEEE J. Quant. Electron., QE-12, 429 (1976).
3. K. M. Chung, C. J. Stevens, M. P. Becler, IEEE J. Quant. Electron., QE-15, 874 (1979).
4. С. А. Ахмаков, В. Н. Варакин и др., Письма в ЖФ, 5, вып. 24, 1507 (1979).
5. С. С. Алимпиев, Ю. И. Бычков и др., Письма в ЖФ, 5, 814 (1979).
6. С. С. Алимпиев, Л. С. Кременчугский и др., Тезисы IX Все-союзного семинара "Импульсная фотометрия", 1982 г.
7. S. S. Alimpiev, N. V. Karlov et al., Opt. Comm., 31, 309 (1979).
8. A. S. Pine, A. G. Robiette, J. Molec. Spectr., 80, 388 (1980).
9. S. S. Alimpiev, N. V. Karlov et al., Conf. on Lasers and Electro-optics, Post-deadline papers, June 10-12, 1981, p. FNG-1.